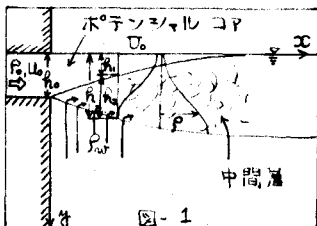


IV-21 密度噴流における連行現象

九州産業大学 工学部 正員 栗原 道徳
 九州大学 " " 橋東一郎
 " " 小林 利光
 九州産業大学 大学院 学生員 松山龍太郎

1. まえがき

密度噴流の連行現象に関する研究は、Ellison, Turner以来多くの研究が行われてきたが、これらは連行係数がRichardson数に規定されるものと1つあり、流れの確立領域を対象としたものである。しかししながら連行作用は形成領域に於いて支配的役割を演じてあり、確立領域に到達時ほど混合は終りきるようである。ここでは、形成領域の連行現象について、実験的研究を行った。



2. 装置及び実験方法

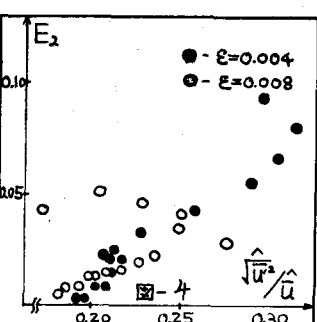
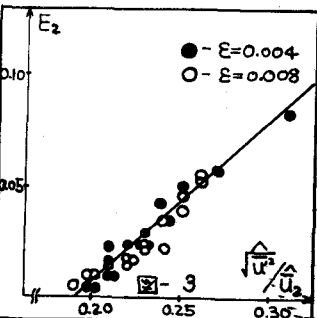
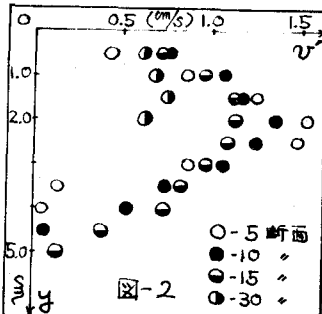
実験水路は透明アクリル製のもので、長さ5.5m、高さ1.5m、幅15cmである。実験は二次元水路に塩水を貯え、厚さ2cmのスリットから噴出口流速 $U_0 = 10 \text{ cm/s}$ で淡水を塩水面に噴出させた。密度差は $\epsilon = 0.004$, 0.008 , 0.015 , 0.030 である。また噴流の定常状態を延長させる為に、後方より一定量の塩水の供給を行った。流速の測定には hot-film anemometerを使用し、密度の測定には電導度式塩分濃度計を用いた。

3. 実験結果及び考察

流れを模式的に示すと図-1のようになる。potential core と下層境界の間に混合層が存在する。この混合層は強い剪断力により激しい乱流状態を呈しており、連行と深い関連がある。図-2に $\sqrt{u'^2}$ の測定結果を示す。中間層に peak があり、垂直方向の乱流拡散が顕著であることがうかがわれる。図-3に混合層に於ける連行速度 E と平均乱れ強度 $\overline{u'^2}/U_0$ との関係を示す。(ヘ)は断面平均を示す。また図-4は上層全体に於けるものである。両図より、乱れ強度 $\overline{u'^2}$ は連行に密接に関連しており、上層全体よりも混合層が連行現象に対し支配的であると言える。また筆者らが求めた理論式では、 E は次の式で表される。

$$E = \text{const.} \cdot \sqrt{\frac{u'^2}{U_0}} \cdot \frac{l}{h_2} \cdot \chi \left(\frac{h_2}{h} \right) \quad \dots \quad (1)$$

χ は関数形、 l は混合距離



二つによると E は、渦動粘性係数 $K_H = \sqrt{\overline{u'^2}} \cdot l$ ($\sqrt{\overline{u'^2}}$, l は混合量の overall Richardson数 R_i と幾何学的な値 h_2/h の関数とされて与えられる) に比例することになる。すなはち確立領域や理論的に E は R_i と h_2/h に規定されることを意味する。図-5に実験より求めた渦動粘性係数 $K_H = -\overline{u'^2}/\frac{du}{dx}$, 渦動拡散係数 $K_H = -\overline{u'^2}/\frac{df}{dx}$ と E との関係を示す。ほぼ直線で表され、式(1)の E と K_H 、両者の間の線型性を良く示している。図-6は $l = ph_2$ (混合距離)

離が混合層の深さに比例するとする。homogeneous jet では $B = \text{const.}$) といたときの B と local Richardson 数 $R_i = -g \frac{dp}{dy} / \bar{\rho} (\frac{du}{dy})^2$ との関係を示す。密度場では混合距離 δ はその小自体密度効果によるものと見らるることを示す。式(1)を計算すれば用いる Kao らの差唱した加速度方程式、式(2)の有効性をある程度示唆している。

$$l \left(\frac{du}{dy} \right)^2 = l_0 \left(\frac{du}{dy} \right)^2 - B \frac{g}{\bar{\rho}} \cdot l_0 \cdot \frac{dp}{dy} \quad \dots \dots \quad (2)$$

従つて、渦動粘性係数及び渦動拡散係数は、密度場では $\sqrt{\varepsilon}$ と共に減少する為、層の増加に伴つて大きく減少する。
図-7 に混合層に規定される E_2 と R_i の関係を以前著者らが行った実験及び和田・片野のデータと一緒に示す。 R_i の増加に伴つて E_2 は減少する傾向を示す。しかし、実験ごとに異つて傾向を示す。かなりのばらつきがあるが、 E_2 が R_i のみに規定されるとは思えない。 E_2 を規定する量として理論式(1)により R_i と h_0/h が考えらる。また、現象と 1.2 は R_i (噴出口に於ける Richardson 数) が与えられれば流れの pattern は定まるので R_i を支配的要因と考えらる。図-8 は $E_2 - R_i/R_{i0}$ の関係を示す。図-7 に比べるとかなりばらつきが少く、実験の精度を考えると非常に良い一致を示すと言えよう。

4.まとめ

- 密度噴流の進行現象は主に形成領域に於て生じる。
- 進行現象は混合層の特性に規定される。特に混合層内の渦動粘性係数、及び渦動拡散係数と密接な関連がみられる。
- 密度場では混合距離 δ も密度勾配の影響を受け、加速度方程式はかなりの妥当性を持つ。
- E は R_i/R_{i0} に規定されその一義的関係は図-8 に示される。

謝辞：本論文作成に当たり、献身的存御助力をいただいた紫田敏彦氏、神谷誠一郎氏、佐々部圭二氏に甚大なる謝意を表します。

